

Corrigé centrale TSI 2015

Fauteuil dynamique de cinéma

Exigence fonctionnelle « amplifier la sensation d'accélération »

Comportement cinématique du mécanisme de transformation de mouvement du dossier

Q 1. Détermination de la loi entrée-sortie

La fermeture géométrique de la boucle OABC conduit à :

$$\overrightarrow{OA} + \overrightarrow{AB} + \overrightarrow{BC} + \overrightarrow{CO} = \vec{0}$$

$$e.\vec{x}_2 + l.\vec{y}_3 + d.\vec{x}_4 - a.\vec{x}_1 - b.\vec{y}_1 = \vec{0}$$

En posant $\theta_3 = (\vec{y}_1, \vec{y}_3)$, on obtient en projection dans la base 1 :

$$e.\begin{vmatrix} \cos\theta_r \\ \sin\theta_r \end{vmatrix} + l.\begin{vmatrix} -\sin\theta_3 \\ \cos\theta_3 \end{vmatrix} + d.\begin{vmatrix} \cos\theta_d \\ \sin\theta_d \end{vmatrix} - \begin{vmatrix} a \\ b \end{vmatrix} = \vec{0}$$

D'où on tire les deux équations scalaires :

$$1- l.\sin\theta_3 = e.\cos\theta_r + d.\cos\theta_d - a$$

$$2- -l.\cos\theta_3 = e.\sin\theta_r + d.\sin\theta_d - b$$

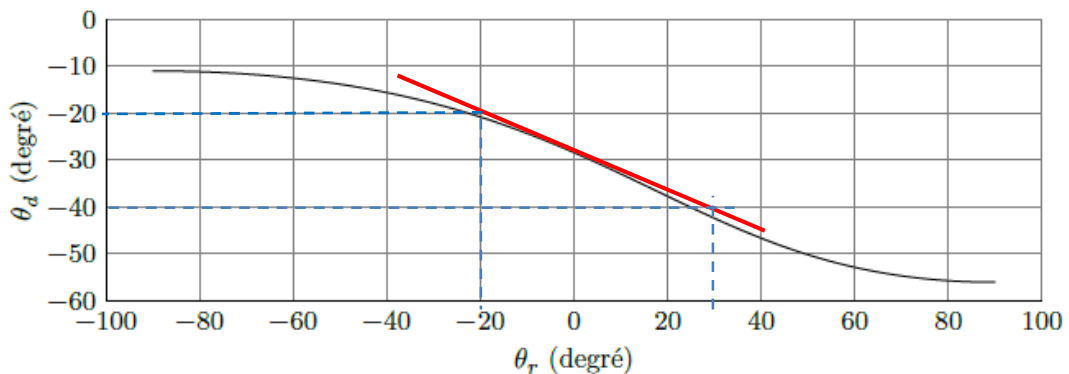
En effectuant $1^2 + 2^2$ pour éliminer θ_3 on obtient :

$$l^2 = (e.\cos\theta_r + d.\cos\theta_d - a)^2 + (e.\sin\theta_r + d.\sin\theta_d - b)^2$$

Après développement et regroupement des termes, on obtient :

$$\begin{aligned} \cos\theta_d(2a.d + 2e.d.\cos\theta_r) + \sin\theta_d(2b.d - 2e.d.\sin\theta_r) \\ = a^2 + b^2 + e^2 + d^2 - l^2 - 2a.e.\cos\theta_r - 2e.b.\sin\theta_r \end{aligned}$$

Q 2. Linéarisation de la loi entrée-sortie



Le coefficient directeur donne la valeur de $K_c = \frac{-20}{50} = -\frac{2}{5}$

Comportement du codeur et de la génératrice tachymétrique

Q 3.

$$\text{Codeur : 250 points par tour} \Rightarrow c = \frac{N_{\text{codeur}}}{\theta} = \frac{250}{2\pi} = 39.8 \text{ rad}^{-1}$$

$$\text{Tachy : 5V pour 3000tr/min} \Rightarrow K_{\Omega} = \frac{U_{\Omega}}{\Omega} = \frac{5}{\frac{3000 \cdot 2\pi}{60}} = \frac{1}{20\pi} = 1,6 \cdot 10^{-2} \text{ V/rad.s}^{-1}$$

Modélisation de l'asservissement du courant

Q 4. Détermination de la valeur finale de la vitesse de rotation pour les modèles initial et simplifié.

$$\text{Modèle initial : } H_I(p) = \frac{\Omega(p)}{I_C(p)} \text{ avec } I_C(p) = \frac{1}{p}$$

Théorème de la valeur finale :

$$\Omega(\infty) = \lim_{p \rightarrow 0} p \cdot \Omega(p) = \frac{K \cdot k_2 \cdot h}{k_2 \cdot h \cdot k_{ri} \cdot f} = \frac{K}{k_{ri} \cdot f}$$

$$\text{Modèle simplifié : } H_I(p) = \frac{\Omega(p)}{I_C(p)} = \frac{K}{k_{ri}} \cdot \frac{1}{J \cdot p + f} \text{ avec } I_C(p) = \frac{1}{p}$$

Théorème de la valeur finale :

$$\Omega(\infty) = \lim_{p \rightarrow 0} p \cdot \Omega(p) = \frac{K}{k_{ri} \cdot f}$$

Modélisation de l'asservissement en vitesse

Q 5. Fonction de transfert de la boucle de vitesse $H_{\Omega}(p)$

$$H_{\Omega}(p) = \frac{FT_{\text{Chaine directe}}}{1 + FT_{BO}} = \frac{C_{\Omega}(p) \cdot \frac{K}{k_{ri}} \cdot \frac{1}{Jp + f}}{1 + K_{\Omega} \cdot C_{\Omega}(p) \cdot \frac{K}{k_{ri}} \cdot \frac{1}{Jp + f}}$$

En remplaçant $C_{\Omega}(p)$ par son expression, il vient après calculs :

$$H_{\Omega}(p) = \frac{\frac{1}{K_{\Omega}}}{1 + \frac{K_{ri} \cdot f}{k_1 \cdot K \cdot K_{\Omega}} \cdot T_1 \cdot p \cdot \frac{J}{f} p + 1} = \frac{\frac{1}{K_{\Omega}} (1 + T_1 \cdot p)}{1 + \left(1 + \frac{K_{ri} \cdot f}{k_1 \cdot K \cdot K_{\Omega}}\right) \cdot T_1 \cdot p + \frac{K_{ri} \cdot J \cdot T_1}{k_1 \cdot K \cdot K_{\Omega}} \cdot p^2}$$

Q 6. Simplification de la fonction de transfert $H_{\Omega}(p)$

On donne $T_1 = \frac{J}{f}$ en remplaçant dans l'expression trouvée précédemment on obtient :

$$H_{\Omega}(p) = \frac{\frac{1}{K_{\Omega}}}{1 + \frac{K_{ri}}{k_1 \cdot K \cdot K_{\Omega}} \cdot J \cdot p.}$$

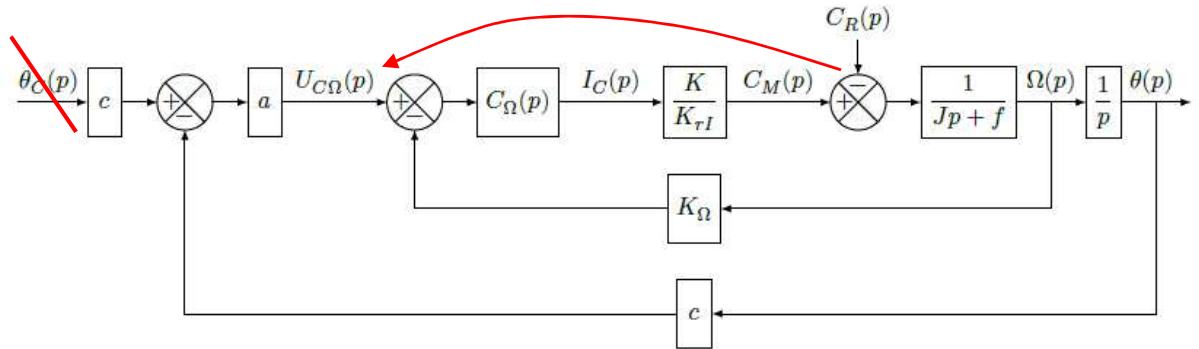
Donc par identification on trouve :

$$b = \frac{1}{K_{\Omega}} = 20 \cdot \pi = 62,8 \text{ rad. s}^{-1}/V$$

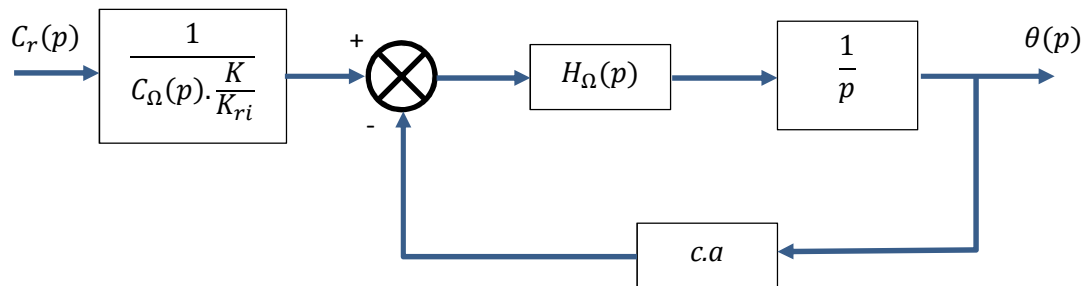
$$\tau = \frac{K_{ri}}{k_1 \cdot K \cdot K_{\Omega}} \cdot J = 2,17 \cdot 10^{-3} \text{ s}$$

Q 7. Calcul de la fonction de transfert $\frac{\theta(p)}{C_r(p)}$

On effectue une transformation de schéma en déplaçant le comparateur de $C_r(p)$



D'où la nouvelle structure de schéma bloc :



$$\frac{\theta(p)}{C_r(p)} = \frac{1}{C_{\Omega}(p) \cdot \frac{K}{K_{ri}}} \cdot \frac{H_{\Omega}(p) \cdot \frac{1}{p}}{1 + c \cdot a \cdot H_{\Omega}(p) \cdot \frac{1}{p}} = \frac{K_{ri} \cdot T_1 \cdot p}{K \cdot k_1 \cdot (1 + T_1 \cdot p)} \cdot \frac{\frac{b}{1 + \tau p} \cdot \frac{1}{p}}{1 + \frac{b}{1 + \tau p} \cdot \frac{1}{p}}$$

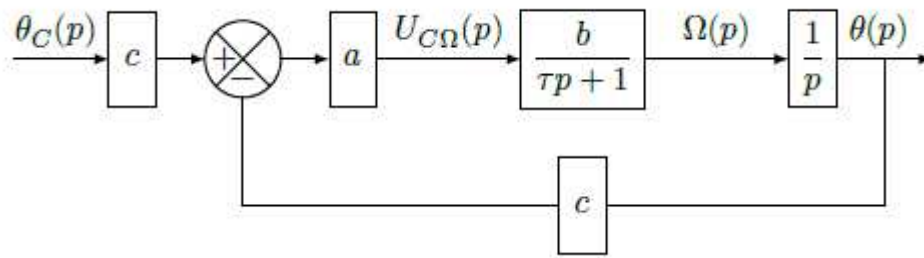
L'application du théorème de la valeur finale pour une entrée de type échelon donne :

$$\theta(\infty) = \lim_{p \rightarrow 0} p \cdot \theta(p) = 0$$

Ce résultat était prévisible car le correcteur PI est placé avant la perturbation.

Modélisation de la boucle d'asservissement en position

Q 8. Modèle simplifié :



Calcul de la fonction de transfert $\frac{\theta(p)}{\theta_C(p)}$

$$\frac{\theta(p)}{\theta_C(p)} = c \cdot \frac{\frac{a \cdot b}{1 + \tau p} \cdot \frac{1}{p}}{1 + \frac{a \cdot b \cdot c}{1 + \tau p} \cdot \frac{1}{p}} = \frac{a \cdot b \cdot c}{(1 + \tau p)p + a \cdot b \cdot c} = \frac{1}{1 + \frac{1}{a \cdot b \cdot c}p + \frac{\tau}{a \cdot b \cdot c}p^2}$$

On peut exprimer le coefficient d'amortissement ζ à partir des paramètres a, b, c et τ .

$$\zeta = \frac{1}{2\sqrt{\tau \cdot a \cdot b \cdot c}} = 0,7$$

Compte tenu des valeurs numériques fournies, on obtient $a = 9,2 \cdot 10^{-2} V$

Cette valeur du coefficient d'amortissement permet d'avoir le meilleur temps de réponse à 5% si on accepte le dépassement transitoire.

Analyse de la précision du système

Q 9. Expression de l'écart de position

$$\mu(p) = \theta_C(p) - \theta(p) = (1 - H_\theta(p)) \cdot \theta_C(p)$$

En posant $H_\theta(p) = \frac{H_{BO}(p)}{1 + H_{BO}(p)}$ avec $H_{BO}(p) = \frac{abc}{p(1 + \tau p)}$

Ecart pour une consigne de type échelon :

$$\mu_p(\infty) = \lim_{p \rightarrow 0} p \cdot \mu(p) = 0$$

Ecart pour une consigne de type rampe :

$$\mu_v(\infty) = \lim_{p \rightarrow 0} p \cdot \mu(p) = \frac{1}{abc} = 4,31 \cdot 10^{-3} rad$$

Ecart pour une consigne de type accélération :

$$\mu_a(\infty) = \lim_{p \rightarrow 0} p \cdot \mu(p) = \infty$$

Validation de la performance simulée en accélération du dossieret

Q 10. Détermination de l'accélération du dossieret

On suppose que le solide 4 est le dossieret

Calcul de $\vec{V}_{D \in 4/1}$:

$$\vec{V}_{D \in 4/1} = -q \cdot \dot{\theta}'_d \cdot \vec{x}'_4 = -q \cdot \dot{\theta}_d \cdot \vec{x}'_4$$

En posant $\theta'_d = \theta_d + \alpha$, avec $\alpha = \frac{\pi}{2} - \widehat{BCD} = \frac{\pi}{2} - \text{Arcos}\left(\frac{a}{d}\right)$

Calcul de $\vec{\Gamma}_{D \in 4/1}$:

$$\vec{\Gamma}_{D \in 4/1} = -q \cdot \ddot{\theta}_d \cdot \vec{x}'_4 - q \cdot \dot{\theta}_d^2 \cdot \vec{y}'_4$$

En utilisant les graphiques figure 15, on peut déterminer la norme du vecteur accélération

$$\|\vec{\Gamma}_{D \in 4/1}\| = \sqrt{(q \cdot \ddot{\theta}_d)^2 + (q \cdot \dot{\theta}_d^2)^2} = 6,73 \text{ m/s}^2$$

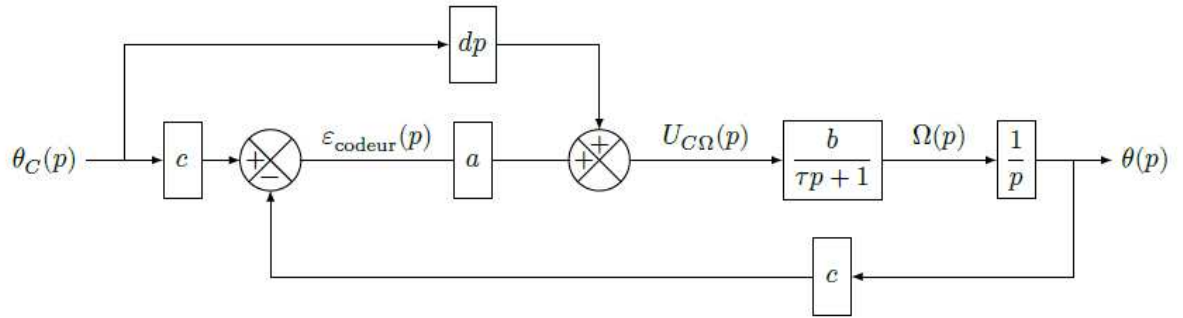
Q 11. Le cahier des charges impose une exigence maximale en accélération

$$0,6g < a_{max} < 0,7g$$

L'accélération maximale déterminée à la question 10 respecte donc l'exigence du cahier des charges.

Optimisation des performances du dossieret

Q 12. Expression de l'erreur



On note l'erreur en position $(t) = \theta_c(t) - \theta(t)$.

D'où en intégrant le bloc c dans la chaîne directe :

$$\begin{aligned} \mu(p) &= \theta_c(p) - \theta(p) = \theta_c(p) - \left(c \cdot a \cdot \frac{b}{\tau p + 1} \cdot \frac{1}{p} \cdot \mu(p) + dp \cdot \frac{b}{\tau p + 1} \cdot \frac{1}{p} \cdot \theta_c(p) \right) \\ \mu(p) \cdot \left(1 + \frac{abc}{(\tau p + 1)p} \right) &= \theta_c(p) \cdot \left(1 - \frac{db}{\tau p + 1} \right) \\ \mu(p) &= \frac{(\tau p + 1 - db) \cdot p}{(\tau p + 1)p + abc} \cdot \theta_c(p) \end{aligned}$$

On en déduit les erreurs de position et de vitesse :

Erreur pour une consigne de type échelon : $\theta_c(p) = \frac{1}{p}$

$$\mu_p(\infty) = \lim_{p \rightarrow 0} p \cdot \mu(p) = 0$$

Erreur pour une consigne de type rampe : $\theta_c(p) = \frac{1}{p^2}$

$$\mu_v(\infty) = \lim_{p \rightarrow 0} p \cdot \mu(p) = \frac{1 - db}{abc}$$

L'erreur de position est donc compatible avec le cahier des charge car inférieure à 1%

Q 13. Calcul de la valeur de d pour obtenir une erreur de trainage nulle :

On veut

$$\mu_v(\infty) = \lim_{p \rightarrow 0} p \cdot \mu(p) = \frac{1 - db}{abc} = 0$$

$$\text{D'où : } d = \frac{1}{b} = 0.016$$

Calcul de l'erreur en accélération

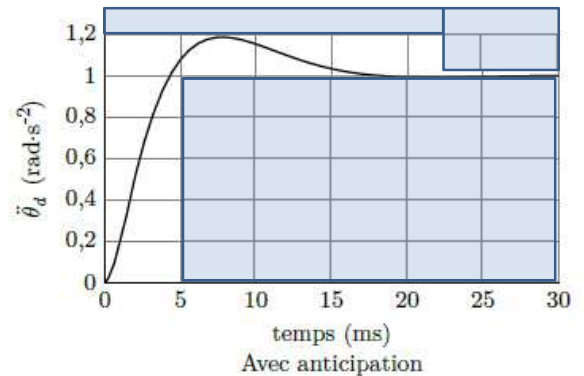
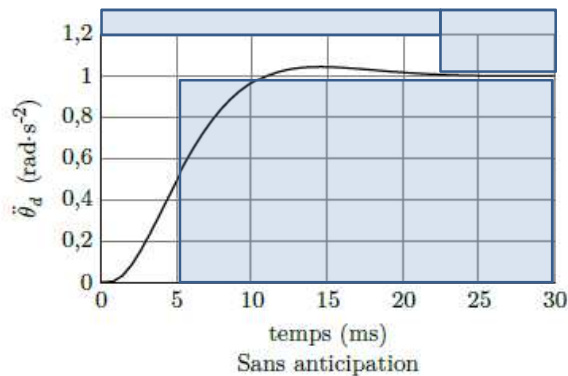
Erreur pour une consigne de type accélération : $\theta_c(p) = \frac{1}{p^3}$

$$\mu_a(\infty) = \lim_{p \rightarrow 0} p \cdot \mu(p) = \lim_{p \rightarrow 0} p \cdot \frac{(\tau p + 1 - db) \cdot p}{(\tau p + 1)p + abc} \cdot \frac{1}{p^3}$$

En prenant le résultat issu de la question précédente, on a $1 - db = 0$, donc :

$$\mu_a(\infty) = \lim_{p \rightarrow 0} p \cdot \frac{\tau p \cdot p}{(\tau p + 1)p + abc} \cdot \frac{1}{p^3} = \frac{\tau}{abc} = 9,5 \cdot 10^{-6} \text{ rad}$$

Q 14. Respect du cahier des charges



Si on place les gabarits de la réponse attendue à partir des données du cahier des charges, on remarque que seule la réponse avec anticipation est conforme aux exigences.

Validation du dimensionnement du moteur du dossieret

Q 15. Détermination de l'énergie cinétique de l'ensemble E

$Ec_{(E/Rg)} = Ec_{(Dossieret/Rg)} + Ec_{(Bielle/Rg)} + Ec_{(Maneton/Rg)} = Ec_{(Dossieret/Rg)}$ car les masses du maneton et de la bielle sont négligées.

Le dossieret est assimilé à une plaque en rotation autour de l'axe fixe (C, \vec{z}_4) à la vitesse angulaire $\vec{\Omega}_{4/1} = \dot{\theta}_d \cdot \vec{z}_4$.

$$\text{Donc } Ec_{(E/Rg)} = \frac{1}{2} J(C, \vec{z}_4) \cdot \dot{\theta}_d^2 = \frac{1}{2} \cdot \frac{M_d \cdot a^2}{3} \cdot \dot{\theta}_d^2$$

Q 16. Application du théorème de l'énergie cinétique dans le but de déterminer le couple appliqué par le réducteur

$$\frac{d}{dt} Ec_{(E/Rg)} = P_g(Ext \rightarrow E) + P(inter)$$

Les liaisons étant supposées parfaites, la puissance des inter-efforts est nulle.

Puissances galiléennes développées par les actions extérieures à E :

- Action du motoréducteur : $P_{red} = C_{red} \cdot \dot{\theta}_r$
- Action de la tête : $P_{tête} = \vec{F}_{tête \rightarrow 4} \cdot \vec{V}_{D \in 4/1} = -F \cdot q \cdot \dot{\theta}_d$ avec $F = -40N$
- Action de la pesanteur : $P_{pes} = \vec{P} \cdot \vec{V}_{G \in 4/1} = M_d \cdot g \cdot CG \cdot \sin \theta'_d \cdot \dot{\theta}_d$

On obtient alors :

$$\frac{M_d a^2}{3} \ddot{\theta}_d = C_{red} \cdot \frac{\dot{\theta}_r}{\dot{\theta}_d} - F \cdot q + M_d \cdot g \cdot CG \cdot \sin \theta'_d$$

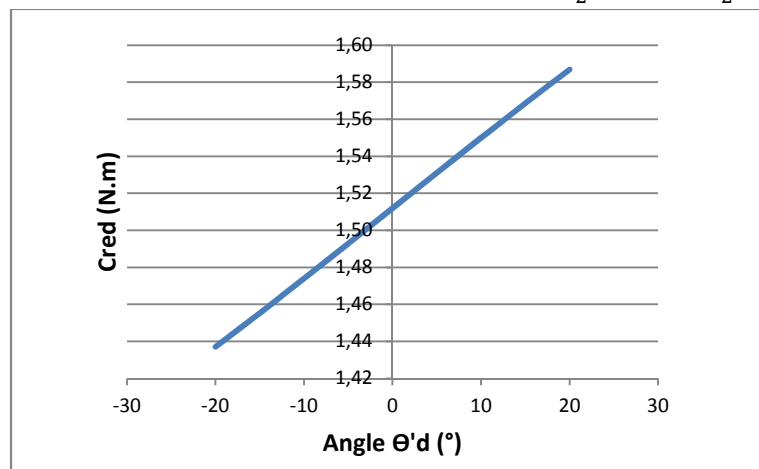
En posant $K_c = \frac{\dot{\theta}_d}{\dot{\theta}_r}$, on obtient pour C_{red} :

$$C_{red} = K_c \cdot \left(\frac{M_d a^2}{3} \ddot{\theta}_d + F \cdot q - M_d \cdot g \cdot CG \cdot \sin \theta'_d \right)$$

Q 17. Application numérique

Si on néglige l'action de la pesanteur sur le dossier, on obtient $C_{red} = 1,51 \text{ N.m}$

Sinon le couple C_{red} dépend de l'angle $\theta'_d = \theta_d + \alpha$, avec $\alpha = \frac{\pi}{2} - \widehat{BCD} = \frac{\pi}{2} - \text{Arcos}\left(\frac{q}{d}\right)$



Q 18. Calcul du couple moteur

On applique le théorème du moment dynamique à l'arbre moteur en projection sur l'axe de rotation.

$$J_M \cdot \ddot{\theta}_M = C_M - \frac{C_{red}}{\eta} \cdot r$$

$$C_M = J_M \frac{\ddot{\theta}_d}{r} + \frac{C_{red}}{\eta} \cdot r = 6,5 \cdot 10^{-1} \text{ N.m}$$

Q 19. Calcul du couple thermique équivalent du moteur

$$C_{th}^2 = \frac{1}{T} \cdot \int C_M^2 \cdot dt = \frac{1}{T} \cdot C_M^2 \cdot t \text{ avec } T=0,2 \text{ s}, C_M=0,65 \text{ N.m et } t=30 \text{ ms.}$$

$$C_{th} = 2,52 \cdot 10^{-1} \text{ N.m}$$

On sait que le courant nominal est égal à 7,7A et le couple nominal est de 0,77 N.m.

$$\text{Donc } K = \frac{C_n}{I_n} = \frac{0,77}{7,7} = 0,1 \text{ Nm/A}$$

$$\text{Donc } I_M = \frac{C_M}{K} = \frac{0,65}{0,1} = 6,5 \text{ A}$$

$$\text{Et ainsi } I_{eff}^2 = \frac{1}{T} \cdot \int I_M^2 \cdot dt = \frac{5}{T} \cdot I_M^2 \cdot t \text{ avec } T=1 \text{ s}, I_M=6,5 \text{ A et } t=30 \text{ ms.}$$

$$\text{Soit } I_{eff}^2 = \frac{5}{1} \cdot 6,5^2 \cdot 0,03 = 6,34 \quad \text{d'où } I_{eff} = 2,5 \text{ A.}$$

En conclusion, le moteur comme son variateur ont été choisis de façon à conserver une marge de sécurité (0,77 Nm pour le moteur et 10A pour le variateur en régime permanent).

Exigence fonctionnelle « incliner le spectateur suivant l'axe de tangage et de roulis »

Commande en simultanée des deux moteurs de l'assise du siège

Q 20. D'après les résultats de la Q12, on a pour un axe :

$$\mu(p) = \frac{(\tau p + 1 - db) \cdot p}{(\tau p + 1)p + abc} \cdot \theta_c(p)$$

- Pour une entrée de type échelon, l'erreur en position est nulle donc :
 $\theta_1 = \theta_2 = \theta_c$ d'où $\theta_1(\infty) - \theta_2(\infty) = 0 \text{ rad}$

- Pour une entrée de type rampe, l'erreur est donnée par :

$$\begin{aligned} \mu_v(\infty) &= \lim_{p \rightarrow 0} p \cdot \mu(p) = \frac{1 - db}{abc} = \theta_c(\infty) - \theta(\infty) \\ \mu_{v1}(\infty) &= \theta_c(\infty) - \theta_1(\infty) \\ \mu_{v2}(\infty) &= \theta_c(\infty) - \theta_2(\infty) \end{aligned}$$

On en déduit donc que :

$$\theta_1(\infty) - \theta_2(\infty) = \mu_{v2}(\infty) - \mu_{v1}(\infty) = \frac{1 - db_2}{ab_2c} - \frac{1 - db_1}{ab_1c} = \frac{b_1 - b_2}{ab_1b_2c} = 4,4 \cdot 10^{-4} \text{ rad}$$

- Pour une entrée de type accélération

$$\frac{\theta_i(p)}{\theta_c(p)} = (d \cdot p + a \cdot c) \cdot \frac{b_i}{(T_i p + 1) \cdot p + a \cdot b_i \cdot c}$$

$$\text{D'où : } \theta_1(p) - \theta_2(p) = (d \cdot p + a \cdot c) \cdot \left(\frac{b_1}{(T_1 p + 1) \cdot p + a \cdot b_1 \cdot c} - \frac{b_2}{(T_2 p + 1) \cdot p + a \cdot b_2 \cdot c} \right) \cdot \theta_c(p)$$

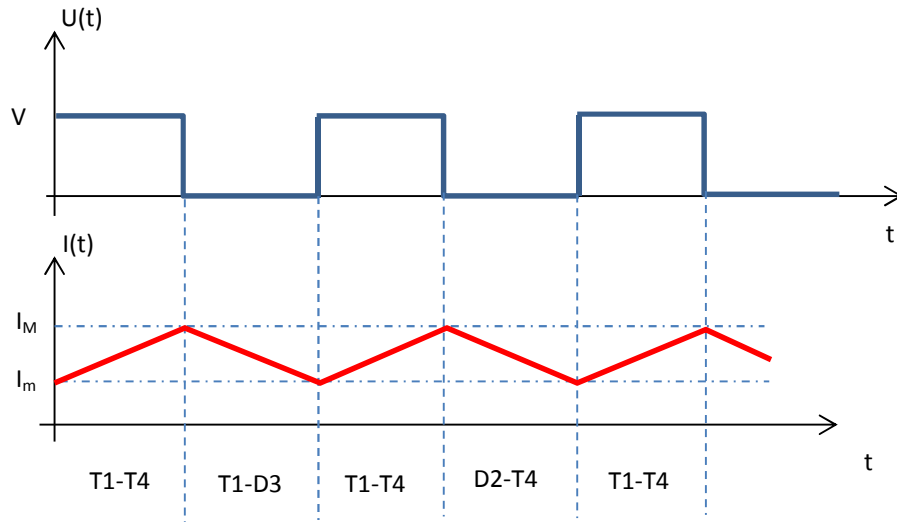
L'application du théorème de la valeur finale donne :

$$\theta_1(\infty) - \theta_2(\infty) = \lim_{p \rightarrow 0} p \cdot (d \cdot p + a \cdot c) \cdot \left(\frac{b_1}{(T_1 p + 1) \cdot p + a \cdot b_1 \cdot c} - \frac{b_2}{(T_2 p + 1) \cdot p + a \cdot b_2 \cdot c} \right) \cdot \frac{1}{p^3} = +\infty$$

Q 21. L'écart statique en accélération vaut au plus 10^{-5} rad pour une consigne de 1 rad donc <1% de l'exigence du cahier des charges sur la plage de temps d'utilisation (0-30ms)

Association variateur de vitesse - moteur

Q 22. Tracé des chronogrammes de $u(t)$ et $i(t)$



Q 23. Expression de l'ondulation de courant Δi

De 0 à αT ; $V = E + L \cdot \frac{di(t)}{dt} \rightarrow i(t) = \frac{V-E}{L} \cdot t + I_m$

De αT à T ; $0 = E + L \cdot \frac{di(t)}{dt} \rightarrow i(t) = -\frac{E}{L} \cdot (t - \alpha T) + I_M$

Pour $t = \alpha T$, on tire $I_M = i(\alpha T) = \frac{V-E}{L} \cdot \alpha T + I_m$ donc $\Delta i = \frac{V-E}{2L} \cdot \alpha T$

Expression de la Fem :

$\langle u \rangle = \langle L \cdot \frac{di(t)}{dt} \rangle + E$ or $\langle L \cdot \frac{di(t)}{dt} \rangle = 0$ car $i(t)$ est périodique

Donc $\langle u \rangle = E = \alpha \cdot V$

Expression de Δi_{max} :

$\Delta i = \frac{V-E}{2L} \cdot \alpha T = \frac{V(1-\alpha) \cdot \alpha}{2L \cdot f}$ or $(1-\alpha) \cdot \alpha$ est maxi pour $\alpha = 0,5$

Donc $\Delta i_{max} = \frac{V}{8L \cdot f}$

Q 24. Calcul de la valeur efficace du courant et du facteur de forme

Pour $\alpha = 0,5$, la pente est la même au signe près de 0 à αT et de αT à T :

$I_{eff}^2 = \frac{1}{T} \int_0^T i^2(t) \cdot dt = \frac{2}{T} \int_0^{T/2} i^2(t) \cdot dt$ or de 0 à αT , $i(t) = I_m + \frac{I_M - I_m}{T/2} t$

Donc $I_{eff}^2 = \frac{2}{T} \left[I_m^2 \cdot t + 2I_m \cdot \frac{I_M - I_m}{T/2} \cdot \frac{t^2}{2} + \left(\frac{I_M - I_m}{T/2} \right)^2 \cdot \frac{t^3}{3} \right]_0^{T/2} = I_m^2 + I_m(I_M - I_m) + \frac{(I_M - I_m)^2}{3}$

Or $I_m = I - \Delta i_{max}$ et $I_M = I + \Delta i_{max}$

Après simplification, il reste :

$$I_{eff} = \sqrt{I^2 + \frac{\Delta i_{max}^2}{3}}$$

Le facteur de forme vaut :

$$F = \frac{I_{eff}}{I} = \frac{\sqrt{7,7^2 + \frac{0,4^2}{3}}}{7,7} = 1,00045 < 1,02$$

Le moteur ne sera donc pas déclassé.

Commande des variateurs de vitesse de l'assise du siège

Q 25. Calcul de V_{offset} et du coefficient d'amplification A

Pour $N_{C\Omega} = 2^{11}$, $V_{out} = \frac{3 \cdot 2^{11}}{4096} = 1,5V$. Il faut donc un $V_{offset} = 1,5V$

On veut que lorsque $N_{C\Omega} = 2^{12} - 1 = 4095$ alors $U_{C\Omega} = 10V$ soit $\left(\frac{4095 \cdot 3}{4096} - 1,5\right) \cdot A = 10$

On en déduit $A = 6,67$

Q 26. On a $N_{C\Omega \text{réel}} = \left(\frac{U_{C\Omega}}{A} + 1,5\right) \cdot \frac{4096}{3}$

Q 27.

Algorithme COMMANDE_VARIATEUR

Déclarations des variables

$N_{C\Omega}, N_{codeur}$: entier

$\gamma_C, \Omega_C, \theta_C, N_{codeur \text{ réel}}, U_{C\Omega}, N_{C\Omega \text{ réel}}, T_e \text{ réel}$: réel

temps_courant $\leftarrow 0$: entier long

temps_précédent $\leftarrow 0$: entier long

a $\leftarrow 0,09$: réel

c $\leftarrow 40$: réel

d $\leftarrow 0,016$: réel

e $\leftarrow 1667$: réel

$T_e \leftarrow 100$: entier long

Début programme principal

$\Omega_C \leftarrow 0$

$\theta_C \leftarrow 0$

$\gamma_C \leftarrow \text{Acquérir_consigne}()$

Répéter à l'infini

temps_courant $\leftarrow \text{Acquérir_temps_courant}()$

Tant que $(\text{temps_courant} - \text{temps_précédent}) < T_e$ faire

temps_courant $\leftarrow \text{Acquérir_temps_courant}()$

Fin tant que

temps_précédent $\leftarrow \text{temps_courant}$

$N_{codeur} \leftarrow \text{Acquérir_codeur}()$

$T_e \text{ réel} \leftarrow \text{convertir_en_réel}(T_e)$

$N_{codeur \text{ réel}} \leftarrow \text{convertir_en_réel}(N_{codeur})$

$\Omega_C \leftarrow \Omega_C + (\gamma_C \cdot e \cdot T_e \text{ réel} \cdot 10^{-6})$

$\theta_C \leftarrow \theta_C + (\Omega_C \cdot T_e \text{ réel} \cdot 10^{-6})$

$U_{C\Omega} \leftarrow a \cdot ((c \cdot \theta_C) - N_{codeur \text{ réel}} + \Omega_C \cdot d)$

$N_{C\Omega \text{ réel}} \leftarrow \left(\frac{4096}{3}\right) \cdot (1,5 + U_{C\Omega} / 6,67)$

$N_{C\Omega} \leftarrow \text{convertir_en_entier}(N_{C\Omega \text{ réel}})$

Si $(N_{C\Omega} > 4095)$ alors

$N_{C\Omega} = 4095$

$\rightarrow \text{enem } 2^{12} - 1 = 4095$

Fin si

Si $(N_{C\Omega} < 0)$ alors

$N_{C\Omega} = 0$

Fin si

$CNA \leftarrow N_{C\Omega}$

Fin répéter à l'infini

Fin programme principal

Q 28.

Algorithme pour remédier au débordement de la variable temps_courant

```
temps_courant ← Acquérir_temps_courant()
durée ← (temps_courant - temps_précédent)
Tant que (durée < Te) faire
    temps_courant ← Acquérir_temps_courant()
    durée ← (temps_courant - temps_précédent)
    Si (durée < 0) alors
        durée ← max_te - temps_précédent + temps_courant.
    Fin si
Fin tant que
temps_précédent ← temps_courant
```

Synthèse globale de l'étude

- Q 29. L'accélération dépend du couple que le moteur peut fournir et de l'inertie à entraîner. Or le couple d'une MCC est proportionnel au courant tel que $C_{em} = K.I$. Il faut donc pouvoir asservir le courant. Le bloc concerné est « le correcteur boucle de courant »
Pour l'inertie, elle pourra être fixée dans les propriétés de l'inertie du moteur.
- Q 30. Un moteur synchrone auto-piloté (brushless) permet une bonne régulation du couple et de la vitesse.
Son inertie est notablement réduite ce qui permet des performances dynamiques plus élevées.